

# Graphes à grand tour de taille

Alain VALETTE

10 janvier 2003

## 1 Introduction

Dans cet article, il sera question de graphes finis, simples (c'est-à-dire sans boucle ni arête multiple), connexes, et  $k$ -réguliers (c'est-à-dire : tout sommet a exactement  $k$  voisins). Un exemple célèbre est donné à la Figure 1 : c'est le graphe de Petersen, qui est 3-régulier.

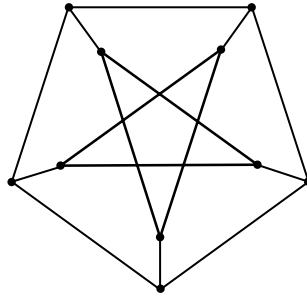


Figure 1.

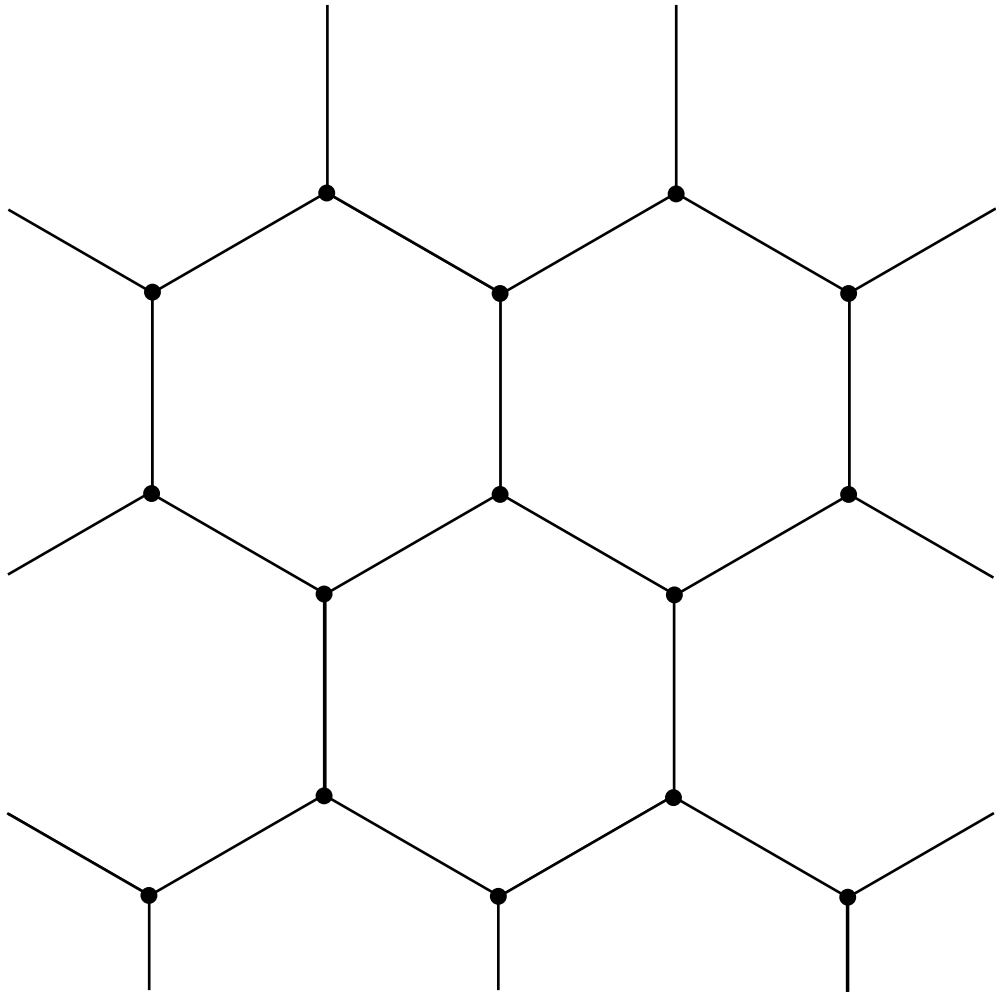
Le *tour de taille* d'un graphe  $X$  est la longueur du plus petit circuit de  $X$  (on dit aussi *maille*, ou *systole*<sup>1</sup>) : on le note  $g(X)$ .

Pour un graphe  $X$   $k$ -régulier, connexe, fini, il existe une relation simple entre le tour de taille  $g = g(X)$ , et le nombre de sommets  $|X|$ . Notons  $r = \lfloor \frac{g-1}{2} \rfloor$  le plus grand entier strictement inférieur à  $\frac{g}{2}$ . Fixons un sommet  $x_0 \in X$ , et considérons la boule fermée  $B_{\leq r}(x_0)$  de centre  $x_0$  et de rayon  $r$ . Comme  $r < g/2$ , cette boule ne peut pas contenir de circuit ; en d'autres termes, le graphe induit par  $X$  sur  $B_{\leq r}(x_0)$ , est un arbre (voir Figure 2).

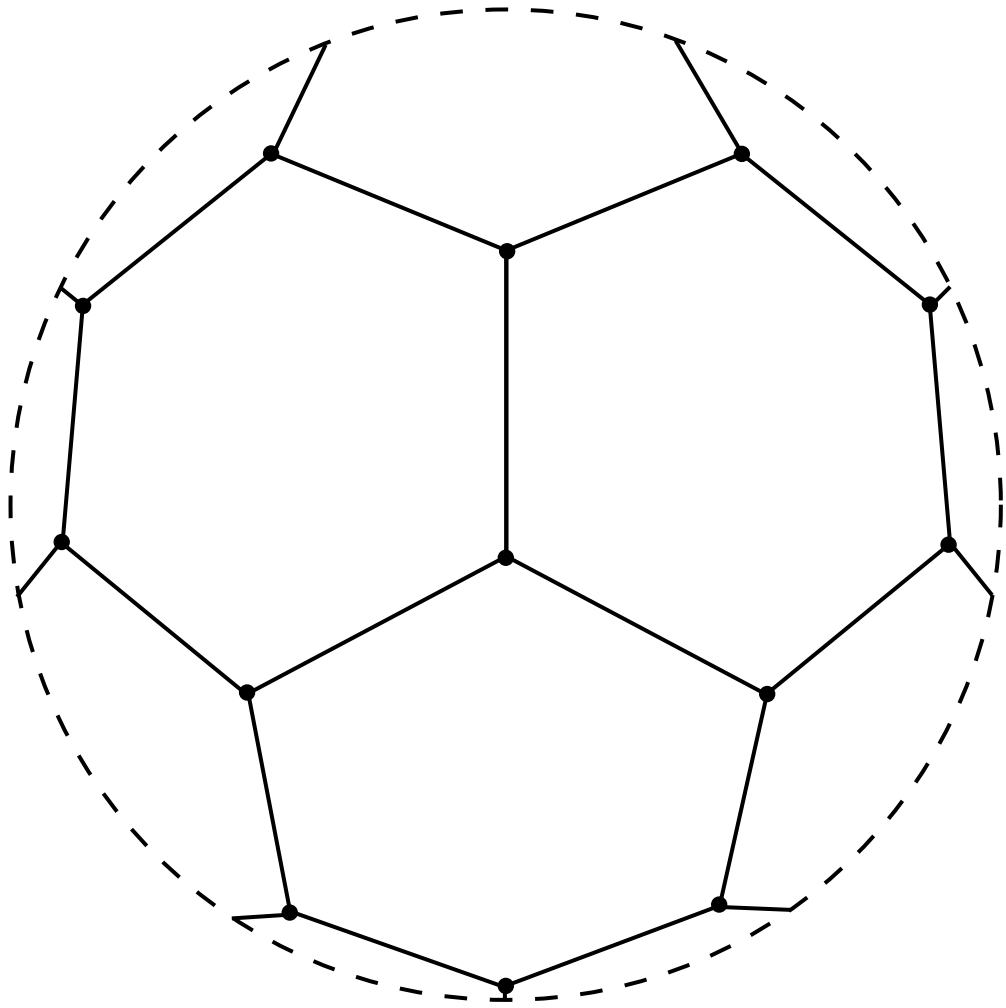
---

<sup>1</sup>En anglais : "girth" ; en allemand : "taillenweite".

AVANT



APRÈS



Le nombre de sommets de la boule  $B_{\leq r}(x_0)$  est facile à estimer : on additionne le nombre de sommets à distance 0 de  $x_0$ , le nombre de sommets à distance 1, le nombre de sommets à distance 2, etc ... Comme le graphe  $X$  est  $k$ -régulier, ceci donne :

$$|B_{\leq r}(x_0)| = 1 + k + k(k-1) + k(k-1)^2 + \dots + k(k-1)^{r-1} = \frac{k(k-1)^r - 2}{k-2}.$$

Ecrivons maintenant l'inégalité triviale  $|B_{\leq r}(x_0)| \leq |X|^2$ . En passant au logarithme en base  $k-1$ , on obtient la relation recherchée :

$$\left\lceil \frac{g(X) - 1}{2} \right\rceil \leq \log_{k-1} |X| + \log_{k-1} \left\lceil \frac{k-2 + \frac{2}{|X|}}{k} \right\rceil.$$

Cette relation prend une forme particulièrement simple si, au lieu de considérer un graphe  $X$ , on considère une famille  $(X_n)_{n \geq 1}$  de graphes  $k$ -réguliers, connexes, finis, avec  $|X_n| \rightarrow +\infty$  pour  $n \rightarrow \infty$  :

$$g(X_n) \leq (2 + o(1)) \log_{k-1} |X_n| \quad (1)$$

(ici  $o(1)$  est une quantité qui tend vers 0 pour  $n \rightarrow \infty$ ).

L'intérêt de considérer des familles de graphes vient de la théorie des circuits de communication : un graphe modélise un réseau de communication, les sommets représentant les utilisateurs (émetteurs/récepteurs d'informations), les arêtes représentant les canaux le long desquels l'information se propage. La condition  $\lim_{n \rightarrow \infty} |X_n| = +\infty$  correspond au désir d'avoir des modèles de réseaux arbitrairement grands. L'exigence de  $k$ -régularité est de nature économique : en effet, le meilleur réseau de communication sur  $m$  sommets est donné par le graphe complet, où tout sommet est connecté à tout autre ; mais le nombre d'arêtes est  $\frac{m(m-1)}{2}$ , il est quadratique en  $m$ . Par contre, pour notre famille  $(X_n)_{n \geq 1}$  de graphes  $k$ -réguliers, le nombre d'arêtes de  $X_n$  est  $\frac{k|X_n|}{2}$ , ce nombre croît donc linéairement avec  $|X_n|$ . Dans ce contexte, il est intéressant d'avoir le tour de taille le plus grand possible : le fait que les circuits soient longs veut dire qu'il y aura peu de retours de l'information, c'est-à-dire peu de redondances.

**Définition.** Soit  $(X_n)_{n \geq 1}$  une famille de graphes  $k$ -réguliers connexes, finis, avec  $\lim_{n \rightarrow \infty} |X_n| = +\infty$ . Nous dirons que  $(X_n)_{n \geq 1}$  est une famille à grand tour de taille s'il existe  $C > 0$  tel que

$$g(X_n) \geq (C + o(1)) \log_{k-1} |X_n| \quad \text{pour tout } n \geq 1.$$

Par l'inégalité (1), on a nécessairement  $C \leq 2$ . Une famille est à grand tour de taille, si le tour de taille est de l'ordre du logarithme du nombre de sommets. Il

---

<sup>2</sup>Pour le graphe de Petersen, on a l'égalité  $B_{\leq r}(x_0) = X$ , mais c'est exceptionnel !

n'est pas du tout évident que de telles familles existent. En effet, vu l'erreur comise dans la comparaison entre  $B_{\leq r}(x_0)$  et  $X$ , on pourrait penser que  $|X|$  est en général bien plus grand que  $|B_{\leq r}(x_0)|$ . Il est donc assez surprenant que de telles familles de graphes existent bel et bien : ceci a été démontré en 1962 par P. Erdős et H. Sachs [5] : par des méthodes non constructives, ils démontrent l'existence de familles  $(X_n)_{n \geq 1}$  avec  $g(X_n) \geq \log_{k-1} |X_n|$  (c'est-à-dire  $C = 1$ ). Une jolie construction élémentaire, complètement explicite, a ensuite été donnée par G. Margulis [7] : malheureusement elle ne donne que  $C = \frac{2 \log 3}{3 \log(1+\sqrt{2})} \simeq 0.831$ . Notre but dans cet article est de présenter une preuve élémentaire<sup>3</sup> du résultat suivant, obtenu indépendamment par A. Lubotzky, R. Phillips, P. Sarnak [6] d'une part, G. Margulis [8] d'autre part.

**Théorème 1.** *Soient  $p, q$  des nombres premiers impairs distincts, avec  $p \equiv 1 \pmod{4}$  et  $\left(\frac{p}{q}\right) = -1$  (c'est-à-dire  $p$  n'est pas un carré modulo  $q$ ). Il existe une famille  $(X^{p,q})$ , construite explicitement, de graphes  $(p+1)$ -réguliers sur  $q(q^2-1)$  sommets, avec  $g(X^{p,q}) \geq \left(\frac{4}{3} + o(1)\right) \log_p |X^{p,q}|$ .*

Les graphes  $X^{p,q}$  seront des graphes de Cayley du groupe fini  $\mathrm{PGL}_2(q)$ , d'ordre  $\frac{q(q-1)}{2}$ , par rapport à une partie génératrice à  $p+1$  éléments construite à partir du théorème des quatre carrés de Jacobi.

À notre connaissance, la constante  $C = \frac{4}{3}$  du Théorème 1, détient le record du monde. La preuve ci-dessous est tirée d'un travail en commun avec G. Davidoff et P. Sarnak [2].

## 2 Rappels

### 2.1 Graphes de Cayley

Les graphes que nous construirons seront des graphes de Cayley. Rappelons rapidement cette notion.

Soit  $\Gamma$  un groupe (fini ou infini), et  $S$  une partie *finie* de  $\Gamma$ . Nous supposons que  $S$  ne contient pas le neutre 1 de  $\Gamma$ , et que  $S$  est symétrique, c'est-à-dire stable par le passage à l'inverse. Le *graphe de Cayley*  $\mathcal{G}(\Gamma, S)$  est le graphe dont l'ensemble des sommets est  $\Gamma$ , et dont l'ensemble des arêtes est formé des paires  $\{x, y\}$  pour lesquelles il existe  $s \in S$  tel que  $y = xs$ . Notons que cette relation d'adjacence est symétrique (car  $S = S^{-1}$ ) et que le graphe  $\mathcal{G}(\Gamma, S)$  est simple (car  $1 \notin S$ ).

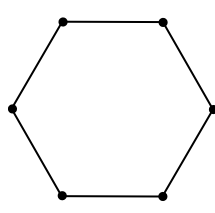
La figure 3 donne différents exemples de graphes de Cayley du groupe additif  $\Gamma = \mathbb{Z}/6\mathbb{Z}$  (groupe cyclique d'ordre 6),

Les propriétés principales d'un graphe de Cayley sont les suivantes :

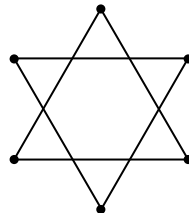
---

<sup>3</sup>La preuve originale utilisait les groupes algébriques sur les adèles, en particulier le théorème d'approximation forte de Kneser.

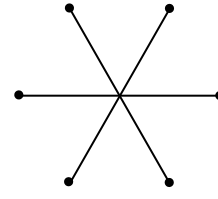
- $\mathcal{G}(\Gamma, S)$  est  $k$ -régulier, avec  $k = |S|$ ;
- $\Gamma$  agit par automorphismes sur  $\mathcal{G}(\Gamma, S)$ , transitivement sur les sommets (grâce aux multiplications gauches de  $\Gamma$ );
- $\mathcal{G}(\Gamma, S)$  est connexe si et seulement si  $S$  engendre  $\Gamma$  (en effet :  $\mathcal{G}(\Gamma, S)$  est connexe si et seulement si tout sommet peut être relié au sommet  $1 \in \Gamma$ , si et seulement si tout élément de  $\Gamma$  s'écrit comme un produit d'éléments de  $S$ ).



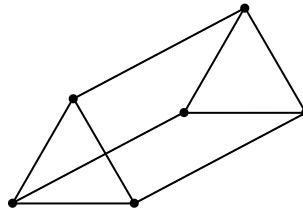
$$S = \{ \pm 1 \}$$



$$S = \{ \pm 2 \}$$



$$S = \{ 3 \}$$



$$S = \{ \pm 2, 3 \}$$

**Figure 3.**

## 2.2 Sommes de 4 carrés

Partons du théorème des 4 carrés de Jacobi (voir [9], [2] pour les preuves élémentaires) : si  $p$  est premier, il y a  $8(p+1)$  manières d'écrire  $p$  comme somme de 4 carrés d'entiers :

$$|\{(x_0, x_1, x_2, x_3) \in \mathbb{Z}^4 : x_0^2 + x_1^2 + x_2^2 + x_3^2 = p\}| = 8(p+1).$$

Supposons dorénavant  $p \equiv 1 \pmod{4}$ . En réduisant  $x_0^2 + x_1^2 + x_2^2 + x_3^2 = p$  modulo 4, et en se rappelant que les carrés modulo 4 sont 0 et 1, on voit qu'exactly un des  $x_i$  est impair, et les autres pairs. Ainsi

$$|\{(x_0, x_1, x_2, x_3) \in \mathbb{Z}^4 : x_0^2 + x_1^2 + x_2^2 + x_3^2 = p, x_0 \text{ impair}, x_0 > 0\}| = p+1. \quad (2)$$

### 2.3 Quaternions

Si  $R$  est un anneau commutatif à unité, nous noterons  $\mathbb{H}(R)$  l'anneau des *quaternions de Hamilton* à coefficients dans  $R$

$$\mathbb{H}(R) = \{a_0 + a_1 i + a_2 j + a_3 k : a_0, a_1, a_2, a_3 \in R\}$$

où les symboles  $i, j, k$  sont soumis aux relations usuelles :

$$i^2 = j^2 = k^2 = -1, \quad ij = -ji = k, \quad jk = -kj = i, \quad ki = -ik = j.$$

Si  $\alpha = a_0 + a_1 i + a_2 j + a_3 k$  est un quaternion, nous définissons le *quaternion conjugué*  $\bar{\alpha} = a_0 - a_1 i - a_2 j - a_3 k$ , ainsi que la *norme* :

$$N(\alpha) = \bar{\alpha} \alpha = \alpha \bar{\alpha} = a_0^2 + a_1^2 + a_2^2 + a_3^2.$$

Notons  $\mathbb{F}_q$  le corps fini à  $q$  éléments ( $q$  impair). Rappelons que, dans  $\mathbb{F}_q$ , l'équation  $1 + x^2 + y^2 = 0$  possède toujours une solution au moins (pour le voir, posons  $A_+ = \{1 + x^2 : x \in \mathbb{F}_q\}$ ,  $A_- = \{-y^2 : y \in \mathbb{F}_q\}$  : ces deux sous-ensembles de  $\mathbb{F}_q$  ont tous deux  $\frac{q+1}{2}$  éléments, soit plus de la moitié des éléments de  $\mathbb{F}_q$ , donc leur intersection est non vide : il existe donc  $x, y \in \mathbb{F}_q$  tels que  $1 + x^2 = -y^2$ ).

L'anneau de quaternions  $\mathbb{H}(\mathbb{F}_q)$  est isomorphe à l'anneau  $M_2(\mathbb{F}_q)$  des matrices  $2 \times 2$  à coefficients dans  $\mathbb{F}_q$ . Cet isomorphisme n'est pas canonique, mais dépend du choix des deux éléments  $x, y$  tels que  $1 + x^2 + y^2 = 0$  dans  $\mathbb{F}_q$ . Choisissons ces éléments une fois pour toutes, et posons

$$\begin{aligned} \psi_q : \mathbb{H}(\mathbb{F}_q) &\rightarrow M_2(\mathbb{F}_q) : a_0 + a_1 i + a_2 j + a_3 k \\ &\mapsto \begin{pmatrix} a_0 + a_1 x + a_3 y & -a_1 y + a_2 + a_3 x \\ -a_1 y - a_2 + a_3 x & a_0 - a_1 x - a_3 y \end{pmatrix}. \end{aligned}$$

On vérifie que  $\psi_q$  est un isomorphisme d'anneaux, tel que

$$\det \psi_q(\alpha) = N(\alpha) \quad (\alpha \in \mathbb{H}(\mathbb{F}_q)) \quad (3)$$

De plus  $\psi_q(\alpha \bar{\alpha}) = \psi_q(\bar{\alpha} \alpha)$  est une matrice scalaire.

### 2.4 Groupes finis

Notons  $\mathrm{GL}_2(q)$  le groupe des matrices  $2 \times 2$ , inversibles, à coefficients dans  $\mathbb{F}_q$ . L'ordre de  $\mathrm{GL}_2(q)$  est

$$|\mathrm{GL}_2(q)| = q(q-1)(q^2-1)$$

(en effet, on peut choisir de  $q^2 - 1$  façons la première colonne d'une matrice inversible, et de  $q^2 - q = q(q-1)$  façons sa deuxième colonne, linéairement indépendante de la première).

Notons  $\mathrm{SL}_2(q)$  le sous-groupe des matrices de déterminant 1. On a donc  $\mathrm{SL}_2(q) = \mathrm{Ker}[\det : \mathrm{GL}_2(q) \rightarrow \mathbb{F}_q^\times]$  et par conséquent

$$|\mathrm{SL}_2(q)| = q(q^2 - 1).$$

Notons enfin  $\mathrm{PGL}_2(q)$  le quotient de  $\mathrm{GL}_2(q)$  par son centre, formé des matrices scalaires. On a donc

$$|\mathrm{PGL}_2(q)| = q(q^2 - 1).$$

Notons  $\varphi_q : \mathrm{GL}_2(q) \rightarrow \mathrm{PGL}_2(q)$  l'application-quotient, et posons  $\mathrm{PSL}_2(q) = \varphi_q(\mathrm{SL}_2(q))$ . On a donc

$$|\mathrm{PSL}_2(q)| = \begin{cases} q(q^2 - 1) & \text{si } q \text{ est pair} \\ \frac{q(q^2-1)}{2} & \text{si } q \text{ est impair} \end{cases}$$

Remarquons que, pour  $A \in \mathrm{GL}_2(q)$ , on a  $\varphi_q(A) \in \mathrm{PSL}_2(q)$  si et seulement si  $\det A$  est un carré dans  $\mathbb{F}_q$ .

### 3 Les graphes $X^{p,q}$

Comme en (2), considérons les  $p + 1$  solutions de

$$x_0^2 + x_1^2 + x_2^2 + x_3^2 = p, \quad x_0 \text{ impair, } x_0 > 0.$$

A chacune de ces solutions, associons le quaternion entier

$$x_0 + x_1 i + x_2 j + x_3 k.$$

Ceci fournit un ensemble  $S_p$  de  $p + 1$  quaternions dans  $\mathbb{H}(\mathbb{Z})$ . Considérons la réduction modulo  $q$

$$\tau_q : \mathbb{H}(\mathbb{Z}) \rightarrow \mathbb{H}(\mathbb{F}_q)$$

composée avec l'isomorphisme

$$\psi_q : \mathbb{H}(\mathbb{F}_q) \rightarrow M_2(\mathbb{F}_q).$$

On a, pour  $\alpha \in S_p$  :

$$\det(\psi_q(\tau_q(\alpha))) \equiv N(\alpha) = p \pmod{q},$$

donc  $\psi_q(\tau_q(S_p))$  est contenu dans le groupe  $\mathrm{GL}_2(q)$  des matrices inversibles de  $M_2(\mathbb{F}_q)$ . Notons que  $S_p$  est stable par le passage au conjugué  $\alpha \mapsto \bar{\alpha}$ . Comme  $\psi_q(\tau_q(\bar{\alpha}))$  est une matrice scalaire, ceci suggère de passer au quotient par les matrices scalaires, donc de travailler dans le quotient  $\mathrm{PGL}_2(q)$ .

On a alors, pour  $\alpha \in S_p$  :

$$\varphi_q \circ \psi_q \circ \tau_q(\alpha \bar{\alpha}) = 1$$

ce qui montre que  $S_{p,q} = (\varphi_q \circ \psi_q \circ \tau_q)(S_p)$  est une partie symétrique de  $\mathrm{PGL}_2(q)$ . Il est facile de voir que, si  $q$  est assez grand par rapport à  $p$  (c'est-à-dire  $q > 2\sqrt{p}$ ), alors  $(\varphi_q \circ \psi_q \circ \tau_q)|_{S_p}$  est injective, et  $1 \notin S_{p,q}$ .



Si  $\left(\frac{p}{q}\right) = 1$  (c'est-à-dire si  $p$  est un carré modulo  $q$ ), alors  $S_{p,q} \subseteq \text{PSL}_2(q)$ .

Nous posons  $X^{p,q} = \mathcal{G}(\text{PSL}_2(q), S_{p,q})$  : c'est un graphe  $(p+1)$ -régulier, à  $\frac{q(q^2-1)}{2}$  sommets.

Si  $\left(\frac{p}{q}\right) = -1$  (c'est-à-dire si  $p$  n'est pas un carré modulo  $q$ ), alors  $S_{p,q} \subseteq \text{PGL}_2(q) \setminus \text{PSL}_2(q)$ , et nous posons  $X^{p,q} = \mathcal{G}(\text{PGL}_2(q), S_{p,q})$  : c'est un graphe  $(p+1)$ -régulier à  $q(q^2-1)$  sommets.

Nous devons maintenant montrer que  $X^{p,q}$  est connexe, c'est-à-dire montrer que  $S_{p,q}$  engendre

$$\begin{cases} \text{PSL}_2(q) & \text{si } \left(\frac{p}{q}\right) = 1 \\ \text{PGL}_2(q) & \text{si } \left(\frac{p}{q}\right) = -1 \end{cases}$$

Après cela, il nous restera à estimer le tour de taille de  $X^{p,q}$ . Pour traiter ces deux problèmes, nous allons construire une famille de graphes  $Y^{p,q}$ , connexes par construction, et les comparer aux  $X^{p,q}$ .

## 4 Les graphes $Y^{p,q}$

Soit  $\Lambda'(2)$  le sous-ensemble suivant de  $\mathbb{H}(\mathbb{Z})$  :

$$\Lambda'(2) = \{\alpha = a_0 + a_1 i + a_2 j + a_3 k \in \mathbb{H}(\mathbb{Z}) : N(\alpha) = p^r \ (r \in \mathbb{N}), \ \alpha \text{ impair}\}.$$

Remarquons que  $\Lambda'(2)$  est un monoïde multiplicatif contenant  $S_p$ . En particulier  $\Lambda'(2)$  contient les mots sur l'alphabet  $S_p$ . Nous dirons qu'un tel mot est réduit s'il ne contient aucun sous-mot de la forme  $\alpha \bar{\alpha}$  ou  $\bar{\alpha} \alpha$  ( $\alpha \in S_p$ ).

**Théorème 2.** (Dickson 1922) *Ecrivons  $S_p = \{\alpha_1, \dots, \alpha_{\frac{p+1}{2}}, \bar{\alpha}_1, \dots, \bar{\alpha}_{\frac{p+1}{2}}\}$ . Tout élément  $\alpha \in \Lambda'(2)$ , avec  $N(\alpha) = p^r$ , s'écrit de façon unique  $\alpha = \pm p^\ell w_m$ , où  $w_m$  est un mot réduit sur  $S_p$ , et  $2\ell + m = r$ .*

Pour une preuve de ce résultat, voir [3], [2].

Le théorème de Dickson voit pointer un groupe libre, plus exactement le groupe libre sur les  $\frac{p+1}{2}$  générateur  $\alpha_1, \dots, \alpha_{\frac{p+1}{2}}$ . Pour faire apparaître celui-ci explicitement, passons au quotient  $\Lambda'(2)$  par une relation d'équivalence : pour  $\alpha, \beta \in \Lambda'(2)$  :  $\alpha \sim \beta$  s'il existe des naturels  $m, k$  tels que  $p^m \alpha = \pm p^k \beta$ . Notons  $[\alpha]$  la classe de  $\alpha$ . Le théorème de Dickson se reformule en disant que  $\Lambda(2) = \Lambda'(2) / \sim$  est le groupe libre  $L_{\frac{p+1}{2}}$  sur les générateurs  $[\alpha_1], \dots, [\alpha_{\frac{p+1}{2}}]$ .

La réduction  $\tau_q$  modulo  $q$  envoie  $\Lambda'(2)$  dans le groupe multiplicatif  $\mathbb{H}(\mathbb{F}_q)^\times$  de  $\mathbb{H}(\mathbb{F}_q)$ . Notons  $Z(\mathbb{H}(\mathbb{F}_q)^\times)$  le centre de  $\mathbb{H}(\mathbb{F}_q)^\times$ . L'homomorphisme de monoïdes  $\tau_q : \Lambda'(2) \rightarrow \mathbb{H}(\mathbb{F}_q)^\times$  induit par passage au quotient un homomorphisme de groupes

$$\Pi_q : \Lambda(2) \rightarrow \mathbb{H}(\mathbb{F}_q)^\times / Z(\mathbb{H}(\mathbb{F}_q)^\times).$$

A nouveau  $\Pi_q|_{S_p}$  est injectif si  $q$  est assez grand par rapport à  $p$  ( $q > 2\sqrt{p}$  marche), et nous définissons  $Y^{p,q}$  comme le graphe de Cayley de l'image de  $\Pi_q$  par rapport à  $S_p$  :

$$Y^{p,q} = \mathcal{G}(\text{Im } \Pi_q, S_p).$$

Par construction,  $Y^{p,q}$  est un graphe  $(p+1)$ -régulier connexe. Comparons la construction de  $X^{p,q}$  et celle de  $Y^{p,q}$  au moyen d'un diagramme commutatif. Pour cela, remarquons que l'isomorphisme  $\psi_q : \mathbb{H}(\mathbb{F}_q)^\times \rightarrow \text{GL}_2(q)$  envoie  $Z(\mathbb{H}(\mathbb{F}_q)^\times)$  sur les matrices scalaires, et induit donc un isomorphisme

$$\Psi_q : \mathbb{H}(\mathbb{F}_q)^\times / Z(\mathbb{H}(\mathbb{F}_q)^\times) \rightarrow \text{PGL}_2(q).$$

On a alors le diagramme commutatif :

$$\begin{array}{ccccccc} \Lambda'(2) \supset S_p & \xrightarrow{\tau_q} & \mathbb{H}(\mathbb{F}_q)^\times & \xrightarrow{\psi_q} & \text{GL}_2(q) & & \\ \downarrow & & \downarrow & & \downarrow \varphi_q & & \\ \Lambda(2) & \xrightarrow{\Pi_q} & \mathbb{H}(\mathbb{F}_q)^\times / Z(\mathbb{H}(\mathbb{F}_q)^\times) & \xrightarrow{\Psi_q} & \text{PGL}_2(q) \supseteq Q_{p,q}. & & \end{array}$$

Ce diagramme montre déjà que  $Y^{p,q}$  est une composante connexe de  $X^{p,q}$ . L'inconvénient de  $Y^{p,q}$  est que nous ne connaissons pas a priori son nombre de sommets (contrairement à  $X^{p,q}$ ). Son avantage est qu'il est donné comme quotient d'un arbre (l'arbre du groupe libre  $\Lambda(2) \simeq L_{\frac{p+1}{2}}$ ), et que son tour de taille est ainsi facile à estimer.

Notons  $\Lambda(2q)$  le noyau de l'homomorphisme  $\Pi_q$ . On peut penser à  $\Lambda(2q)$  comme à un sous-groupe de congruence dans  $\Lambda(2)$ . Il est facile de vérifier que

$$\Lambda(2q) = \{[\alpha] \in \Lambda(2) : \alpha = a_0 + a_1 i + a_2 j + a_3 k, q \text{ divise } a_1, a_2, a_3\}. \quad (4)$$

**Proposition 1.**  $g(Y^{p,q}) \geq 2 \log_p q$ ; de plus, si  $\left(\frac{p}{q}\right) = -1$ , alors  $g(Y^{p,q}) \geq 4 \log_p q - \log_p 4$ .

**Preuve.** Notons  $g$  pour  $g(Y^{p,q})$ . Soient  $x_0, x_1, \dots, x_g = x_0$  les sommets d'un circuit de longueur  $g$  dans  $Y^{p,q}$ . Comme  $Y^{p,q}$  est un graphe de Cayley, nous pouvons (quitte à traduire dans  $\text{Im } \Pi_q$ ) supposer que  $x_0 = 1$ . En relevant ce chemin en un chemin issu de l'origine dans l'arbre de Cayley de  $\Lambda(2)$ , nous voyons que

$$g = \min \{ |[\alpha]|_{S_p} : [\alpha] \in \Lambda(2q), [\alpha] \neq 1 \},$$

où  $|\cdot|_{S_p}$  désigne la longueur des mots par rapport à  $S_p$  dans le groupe libre  $\Lambda(2)$ . Soit donc  $\alpha = a_0 + a_1 i + a_2 j + a_3 k \in \Lambda'(2)$ , tel que  $[\alpha] \in \Lambda(2q)$  et  $|[\alpha]|_{S_p} = g$ . En prenant les normes, on a

$$p^g = a_0^2 + a_1^2 + a_2^2 + a_3^2$$

et au moins un des nombres  $a_1, a_2, a_3$  est non nul, car  $[\alpha] \neq 1$ . D'autre part  $q$  divise  $a_1, a_2, a_3$ , par (4). Donc  $p^g \geq q^2$ , c'est-à-dire  $g \geq 2 \log_p q$ .

Si  $\left(\frac{p}{q}\right) = -1$ , comme  $p^g \equiv a_0^2 \pmod{q}$ , on voit d'abord que  $g$  est pair, disons  $g = 2h$ . Remarquons qu'on a en fait

$$p^{2h} \equiv a_0^2 \pmod{q^2}$$

ce qui implique (pas complètement trivialement, car on travaille modulo  $q^2$ ) :

$$p^h \equiv \pm a_0 \pmod{q^2}.$$

D'autre part  $a_0^2 \leq p^g$ , donc  $|a_0| \leq p^h$ . Supposons par l'absurde  $g < 4 \log_p q - \log_p 4$ , c'est-à-dire  $p^h < \frac{q^2}{2}$ . Alors  $|p^h \mp a_0| < q^2$ . De la congruence précédente, nous tirons  $p^h = \pm a_0$ . Alors  $p^g = a_0^2$ , ce qui implique  $a_1 = a_2 = a_3 = 0$  : c'est la contradiction désirée.  $\square$

Notons que cette proposition, jointe à l'inégalité (1), donne la borne inférieure

$$|Y^{p,q}| = |\text{Im } \Pi_q| \geq q. \quad (5)$$

## 5 Preuve du Théorème 1

Le Théorème 1 résulte de la proposition suivante :

**Proposition 2.** *Si  $q > \sqrt{2} p^8$ , alors  $X^{p,q}$  est connexe [et donc  $X^{p,q} \simeq Y^{p,q}$ , et :*

$$\begin{aligned} \text{si } \left(\frac{p}{q}\right) = 1 & : g(X^{p,q}) \geq \frac{2}{3} \log_p |X^{p,q}| \\ \text{si } \left(\frac{p}{q}\right) = -1 & : g(X^{p,q}) \geq \left(\frac{4}{3} + o(1)\right) \log_p |X^{p,q}|. \end{aligned}$$

**Preuve.** Nous devons montrer que  $S_{p,q}$  engendre

$$\begin{cases} \text{PSL}_2(q) & \text{si } \left(\frac{p}{q}\right) = 1 \\ \text{PGL}_2(q) & \text{si } \left(\frac{p}{q}\right) = -1. \end{cases}$$

Notons  $\langle S_{p,q} \rangle$  le sous-groupe engendré par  $S_{p,q}$ , et posons

$$H = \langle S_{p,q} \rangle \cap \text{PSL}_2(q).$$

Pour  $g, h \in \text{PSL}_2(q)$ , notons  $[g, h] = g h g^{-1} h^{-1}$  le commutateur de  $g$  et  $h$ . Nous allons utiliser une propriété des sous-groupes de  $\text{PSL}_2(q)$ , encore due à Dickson :

**Théorème 3.** (Dickson 1901) *Soit  $q$  un nombre premier,  $q \geq 7$ . Soit  $H$  un sous-groupe propre de  $\text{PSL}_2(q)$ . Si  $|H| > 60$ , alors  $H$  est métabélien, c'est-à-dire  $[[g_1, g_2], [g_3, g_4]] = 1$  pour tous  $g_1, g_2, g_3, g_4 \in H$ .*

Pour une preuve de ce résultat, voir [4], [2]. La preuve du Théorème 1 continue alors comme suit. Supposons par l'absurde que  $S_{p,q}$  n'engendre pas ce qu'il doit engendrer, ce qui revient à dire que  $H$  est un sous-groupe propre de  $\mathrm{PSL}_2(q)$ . Remarquons que  $|H| \geq q > 60$ , par (5). Nous avons vu d'autre part que le graphe de Cayley  $\mathcal{G}(\langle S_{p,q} \rangle, S_{p,q})$  est isomorphe à  $Y^{p,q}$ . Considérons deux cas :

- a) Si  $\left(\frac{p}{q}\right) = 1$ , alors la relation  $[[g_1, g_2], [g_3, g_4]] = 1$ , appliquée à quatre éléments de  $S_{p,q}$ , fournit un circuit de longueur 16 dans  $Y^{p,q}$ . Nous obtenons, grâce à la Proposition 1 :

$$2 \log_p q \leq g(Y^{p,q}) \leq 16$$

c'est-à-dire  $q \leq p^8$ , une contradiction.

- b) Si  $\left(\frac{p}{q}\right) = -1$ , alors la relation  $[[g_1, g_2], [g_3, g_4]] = 1$ , appliquée à quatre carrés d'éléments de  $S_{p,q}$  fournit un circuit de longueur 32 dans  $Y^{p,q}$ . Nous obtenons, par la Proposition 1 :

$$4 \log_p q - \log_p 4 \leq g(Y^{p,q}) \leq 32$$

c'est-à-dire  $q \leq \sqrt{2} p^8$ , à nouveau une contradiction.

□

**Remarques.** 1) Dans les articles originaux [6], [8], la connexité de  $X^{p,q}$  est démontrée pour  $q > 2\sqrt{p}$ , ce qui est évidemment meilleur que notre hypothèse de la Proposition 2.

2) Si  $\left(\frac{p}{q}\right) = -1$ , Biggs et Boshier [1] ont démontré en 1992 que  $g(X^{p,q}) \leq 4 \log_p q + \log_p 4 + 2$ , de sorte que la constante  $C = \frac{4}{3}$  du Théorème 1 (ou de la Proposition 2) est optimale.

## Références

- [1] N.L. BIGGS & A.G. BOSHIER, Note on the girth of Ramanujan graphs, *J. Comb. Theory*, Ser. B **49**, n° 2 (1990), 190-194.
- [2] G. DAVIDOFF, P. SARNAK & A. VALETTE, Elementary number theory, group theory and Ramanujan graphs, à paraître dans Cambridge Univ. Press.
- [3] L.E. DICKSON, Arithmetic of quaternions, *Proc. London Math. Soc.* (2) **20** (1922), 225-232.
- [4] L.E. DICKSON, *Linear groups with an exposition of the Galois field theory*, Dover Publications, New York, 1958.
- [5] P. ERDÖS & H. SACHS, Reguläre Graphen gegebener Tailenweite mit minimaler Knollenzahl, *Wiss. Z. Univ. Halle-Willenberg Math. Nat. R.* **12** (1963), 251-258.
- [6] A. LUBOTZKY, R. PHILLIPS & P. SARNAK, Ramanujan graphs, *Combinatorica* **8** (1988), 261-277.
- [7] G.A. MARGULIS, Explicit constructions of graphs without short cycles and low density codes, *Combinatorica* **2** (1982), 71-78.
- [8] G.A. MARGULIS, Explicit group-theoretical constructions of combinatorial schemes and their application to the design of expanders and concentrators, *J. Probl. Inf. Transm.* **24** n° 1 (1988), 39-46.
- [9] A. WEIL, Sur les sommes de trois et quatre carrés (1974), *Œuvres Scientifiques Vol. III*, Springer-Verlag, 1979.

Alain Valette  
Institut de Mathématiques  
Rue Emile Argand 11  
CH-2007 Neuchâtel – SUISSE  
e-mail : alain.valette@unine.ch